

УДК 693.546

В. С. Ловейкін<sup>1</sup>, К. І. Почка<sup>2</sup>

<sup>1</sup> Національний університет біоресурсів і природокористування України (м. Київ),

<sup>2</sup> Київський національний університет будівництва і архітектури

## ДОСЛІДЖЕННЯ НАВАНТАЖЕНЬ В ЕЛЕМЕНТАХ РОЛИКОВОЇ ФОРМУВАЛЬНОЇ УСТАНОВКИ З ВРІВНОВАЖЕНИМ ПРИВОДОМ

© Ловейкін В. С., Почка К. І., 2015

*Для роликової формувальної установки з врівноваженим приводом на чотири формувальні візки визначено навантаження в її елементах та встановлено характер їх зміни протягом циклу руху, а також визначено значення потужності, необхідної для забезпечення процесу формування.*

*Ключові слова: роликова формувальна установка, рекупераційний привід, динамічне зрівноваження.*

*The loading on four forming carts for a roller forming plant with a balanced drive is defined and the nature of their change throughout a motion cycle is established. Also the power value necessary for ensuring the formation process is defined.*

*Key words: roller forming plant, recuperation drive, dynamic equilibration.*

**Постановка проблеми.** В установках роликового формування залізобетонних виробів під час їхньої роботи виникають значні динамічні навантаження в елементах привідного механізму та в елементах формувальних візків [1–6]. Незважаючи на доволі широке дослідження технологічного процесу формування залізобетонних виробів безвібраційним роликовим методом [1–3], до цього часу не була досліджена динаміка руху формувального візка та її вплив на процес формування. Мало приділялось уваги зусиллям, що виникають в елементах привідного механізму та формувального візка.

**Аналіз останніх досліджень і публікацій.** В існуючих теоретичних та експериментальних дослідженнях машин роликового формування залізобетонних виробів обґрунтовано їхні конструктивні параметри та продуктивність [1–3]. До того ж недостатньо уваги приділено дослідженню діючим динамічним навантаженням та режимам руху, що значною мірою впливає на роботу установки та на якість готової продукції.

Для підвищення продуктивності роботи з одночасним зниженням енерговитрат на забезпечення технологічного процесу ущільнення виробів з бетонної суміші та розвантаження привідного механізму було розроблено конструкцію роликової формувальної установки [7, 8], що складається з нерухомого порталу та чотирьох формувальних візків, які виконані з можливістю приведення у зворотно-поступальний рух від спільного приводу з чотирма кривошипно-повзунними механізмами, кривошипи яких жорстко закріплені на одному привідному валу і зміщені один щодо одного на кут  $\Delta j = 90^0$ . Усі формувальні пристрої розташовані паралельно між собою з одного боку привідного вала для забезпечення ущільнення виробів з бетонної суміші на одній технологічній лінії [8]. Під час застосування спільного врівноваженого приводу на чотири формувальні візки підвищується продуктивність установки, зменшуються динамічні навантаження в елементах її привідного механізму, зменшуються зайві руйнівні навантаження на рамну конструкцію і, відповідно, підвищується довговічність установки загалом.

На рис. 1 зображено загальний вигляд роликової формувальної установки з врівноваженим приводом для чотирьох формувальних візків (вигляд з боку) та наведено її кінематичну схему. Установка складається з чотирьох однакових формувальних візків 1, 2, 3 та 4, що розміщені з одного боку від приводу. Кожний з візків через шатуни 5, 6, 7 та 8 шарнірно рухомо з'єднаний з кривошипами 9, 10, 11 та 12, які жорстко закріплені на привідному валу 13 та зміщені один щодо

іншого на кут  $\Delta j = 90^0$ . Формувальні візки 1, 2, 3 та 4 змонтовані на спільному порталі 14. На порталі 14 є напрямні руху 15, у яких здійснюють зворотно-поступальний рух вищезгадані формувальні візки над порожниною форми 16. Формувальні візки 1, 2, 3 та 4 мають подавальний бункер 17 та укочувальні ролики 18, які встановлені в напрямних руху 15.

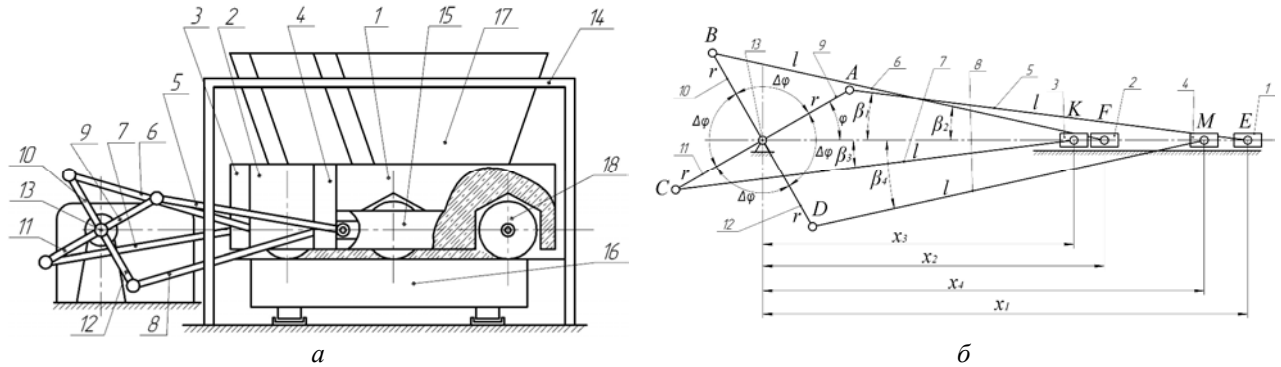


Рис. 1. Роликова формувальна установка з врівноваженим приводом (а) та її кінематична схема (б)

У [9] було визначено навантаження в елементах роликів формувальних установок, однак це було зроблено для установки з кривошипно-повзунним приводом на один формувальний візок. Тому актуальним є завдання визначення навантажень в елементах роликів формувальної установки з врівноваженим приводом.

**Мета роботи** – дослідити навантаження в елементах роликів формувальної установки з врівноваженим приводом на чотири формувальні візки та встановити характер їх зміни протягом циклу руху, а також визначити значення потужності, необхідної для забезпечення процесу формування.

**Виклад основного матеріалу дослідження.** У такій установці під час її роботи виникають навантаження в елементах привідного механізму та в елементах формувального візка. Для роликів формувальної установки з врівноваженим приводом складено розрахункову схему навантажень на один із формувальних візків (рис. 2, а) та на привідний механізм (рис. 2, б), визначені геометричні параметри та місця прикладення відповідних навантажень. На інші три формувальні візки діють аналогічні навантаження, що відповідають їхнім положенням.

На розрахунковій схемі навантажень на формувальний візок (рис. 2, а) зображено: 1 – шатун; 2 – формувальний візок; 3 – укочувальчі ролики; 4 – напрямні ролики та 5 – напрямні руху формувального візка.

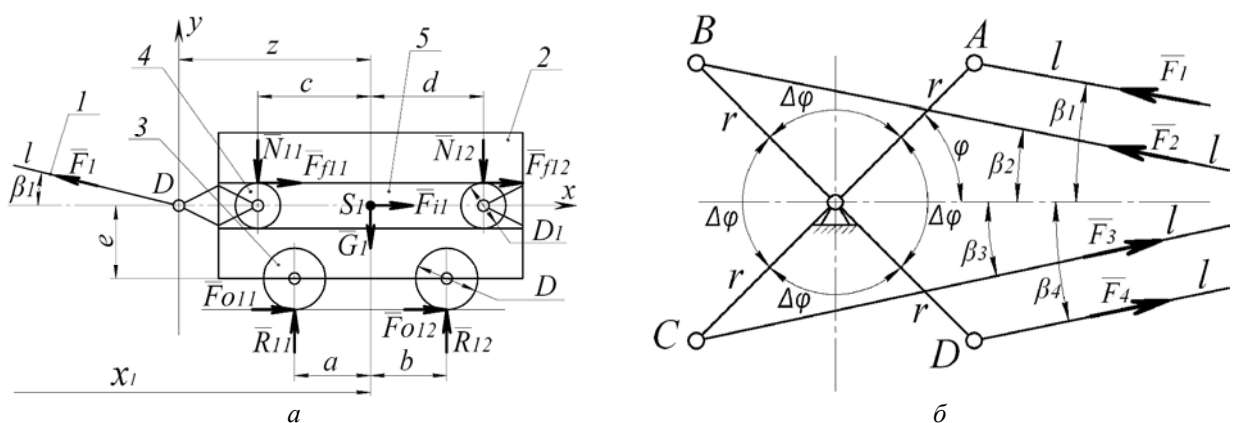


Рис. 2. Розрахункова схема навантажень на формувальний візок (а) та на привідний механізм (б)

Для установки складено рівняння кінестатичної рівноваги формувальних візків 1, 2, 3 та 4. Спроектували усі сили на осі  $x$  і  $y$  та узявши суму моментів усіх сил щодо центрів мас формувальних візків, отримано:

для першого формувального візка:

$$\begin{cases} \sum X = -F_1 \cdot \cos b_1 + F_{O11} + F_{O12} + F_{f11} + F_{f12} + F_{i1} = 0; \\ \sum Y = F_1 \cdot \sin b_1 + R_{11} + R_{12} - G_1 - N_{11} - N_{12} = 0; \\ \sum M_{S1} = -R_{11} \cdot a + F_{O11} \cdot \left(e + \frac{D}{2}\right) + R_{12} \cdot b + F_{O12} \cdot \left(e + \frac{D}{2}\right) + \\ + N_{11} \cdot c - F_{f11} \cdot \frac{D_1}{2} - N_{12} \cdot d - F_{f12} \cdot \frac{D_1}{2} - F_1 \cdot z \cdot \sin b_1 = 0; \end{cases} \quad (1)$$

для другого формувального візка:

$$\begin{cases} \sum X = -F_2 \cdot \cos b_2 + F_{O21} + F_{O22} + F_{f21} + F_{f22} + F_{i2} = 0; \\ \sum Y = F_2 \cdot \sin b_2 + R_{21} + R_{22} - G_2 - N_{21} - N_{22} = 0; \\ \sum M_{S2} = -R_{21} \cdot a + F_{O21} \cdot \left(e + \frac{D}{2}\right) + R_{22} \cdot b + F_{O22} \cdot \left(e + \frac{D}{2}\right) + \\ + N_{21} \cdot c - F_{f21} \cdot \frac{D_1}{2} - N_{22} \cdot d - F_{f22} \cdot \frac{D_1}{2} - F_2 \cdot z \cdot \sin b_2 = 0; \end{cases} \quad (2)$$

для третього формувального візка:

$$\begin{cases} \sum X = -F_3 \cdot \cos b_3 + F_{O31} + F_{O32} + F_{f31} + F_{f32} + F_{i3} = 0; \\ \sum Y = F_3 \cdot \sin b_3 + R_{31} + R_{32} - G_3 - N_{31} - N_{32} = 0; \\ \sum M_{S3} = -R_{31} \cdot a + F_{O31} \cdot \left(e + \frac{D}{2}\right) + R_{32} \cdot b + F_{O32} \cdot \left(e + \frac{D}{2}\right) + \\ + N_{31} \cdot c - F_{f31} \cdot \frac{D_1}{2} - N_{32} \cdot d - F_{f32} \cdot \frac{D_1}{2} - F_3 \cdot z \cdot \sin b_3 = 0, \end{cases} \quad (3)$$

для четвертого формувального візка:

$$\begin{cases} \sum X = -F_4 \cdot \cos b_4 + F_{O41} + F_{O42} + F_{f41} + F_{f42} + F_{i4} = 0; \\ \sum Y = F_4 \cdot \sin b_4 + R_{41} + R_{42} - G_4 - N_{41} - N_{42} = 0; \\ \sum M_{S4} = -R_{41} \cdot a + F_{O41} \cdot \left(e + \frac{D}{2}\right) + R_{42} \cdot b + F_{O42} \cdot \left(e + \frac{D}{2}\right) + \\ + N_{41} \cdot c - F_{f41} \cdot \frac{D_1}{2} - N_{42} \cdot d - F_{f42} \cdot \frac{D_1}{2} - F_4 \cdot z \cdot \sin b_4 = 0, \end{cases} \quad (4)$$

де  $F_1, F_2, F_3$  та  $F_4$  – зусилля у шатунах, яке необхідне для приведення у зворотно-поступальний рух формувальних візків;  $b_1, b_2, b_3$  та  $b_4$  – кутові координати, які визначають положення шатунів щодо горизонталі;  $F_{O11}, F_{O12}, F_{O21}, F_{O22}, F_{O31}, F_{O32}, F_{O41}$  та  $F_{O42}$  – зусилля взаємодії ролика з бетонною сумішшю;  $R_{11}, R_{12}, R_{21}, R_{22}, R_{31}, R_{32}, R_{41}$  та  $R_{42}$  – вертикальні сили взаємодії ролика з бетонною сумішшю;  $N_{11}, N_{12}, N_{21}, N_{22}, N_{31}, N_{32}, N_{41}$  та  $N_{42}$  – нормальні

реакції напрямних руху формувальних візків на напрямні ролики;  $F_{f11} = N_{11} \cdot f_{np}$ ,  $F_{f12} = N_{12} \cdot f_{np}$ ,  $F_{f21} = N_{21} \cdot f_{np}$ ,  $F_{f22} = N_{22} \cdot f_{np}$ ,  $F_{f31} = N_{31} \cdot f_{np}$ ,  $F_{f32} = N_{32} \cdot f_{np}$ ,  $F_{f41} = N_{41} \cdot f_{np}$ ,  $F_{f42} = N_{42} \cdot f_{np}$  – сили тертя напрямних роликів по напрямних руху формувальних візків;  $f_{mp}$  – коефіцієнт тертя напрямних роликів по напрямних руху формувальних візків;  $F_{i1}$ ,  $F_{i2}$ ,  $F_{i3}$  та  $F_{i4}$  – сили інерції формувальних візків;  $G_1$ ,  $G_2$ ,  $G_3$  та  $G_4$  – сили тяжіння формувальних візків;  $a$ ,  $b$ ,  $c$ ,  $d$ ,  $e$ ,  $z$  – геометричні розміри формувального візка;  $D$  – діаметр укочувальних роликів;  $D_1$  – діаметр напрямних роликів.

Розв'язавши складені системи рівнянь (1)–(4) щодо  $F_1$ ,  $F_2$ ,  $F_3$ ,  $F_4$ ,  $N_{11}$ ,  $N_{12}$ ,  $N_{21}$ ,  $N_{22}$ ,  $N_{31}$ ,  $N_{32}$ ,  $N_{41}$  та  $N_{42}$ , отримано залежності для визначення зусилля у шатунах та нормальних реакцій напрямних руху формувальних візків на напрямні ролики залежно від кута повороту кривошипа:

$$N_{11} = F_1 \cdot \sin b_1 + R_{11} + R_{12} - G_1 - N_{12};$$

$$N_{12} = \frac{-R_{11} \cdot a + (F_{O11} + F_{O12}) \cdot \left(e + \frac{D}{2}\right) + R_{12} \cdot b + (F_1 \cdot \sin b_1 + R_{11} + R_{12} - G_1) \cdot \left(c - f_{np} \cdot \frac{D_1}{2}\right) - F_1 \cdot z \cdot \sin b_1}{(d + c)}; \quad (5)$$

$$N_{21} = F_2 \cdot \sin b_2 + R_{21} + R_{22} - G_2 - N_{22};$$

$$N_{22} = \frac{-R_{21} \cdot a + (F_{O21} + F_{O22}) \cdot \left(e + \frac{D}{2}\right) + R_{22} \cdot b + (F_2 \cdot \sin b_2 + R_{21} + R_{22} - G_2) \cdot \left(c - f_{np} \cdot \frac{D_1}{2}\right) - F_2 \cdot z \cdot \sin b_2}{(d + c)}; \quad (6)$$

$$N_{31} = F_3 \cdot \sin b_3 + R_{31} + R_{32} - G_3 - N_{32};$$

$$N_{32} = \frac{-R_{31} \cdot a + (F_{O31} + F_{O32}) \cdot \left(e + \frac{D}{2}\right) + R_{32} \cdot b + (F_3 \cdot \sin b_3 + R_{31} + R_{32} - G_3) \cdot \left(c - f_{np} \cdot \frac{D_1}{2}\right) - F_3 \cdot z \cdot \sin b_3}{(d + c)}; \quad (7)$$

$$N_{41} = F_4 \cdot \sin b_4 + R_{41} + R_{42} - G_4 - N_{42};$$

$$N_{42} = \frac{-R_{41} \cdot a + (F_{O41} + F_{O42}) \cdot \left(e + \frac{D}{2}\right) + R_{42} \cdot b + (F_4 \cdot \sin b_4 + R_{41} + R_{42} - G_4) \cdot \left(c - f_{np} \cdot \frac{D_1}{2}\right) - F_4 \cdot z \cdot \sin b_4}{(d + c)}; \quad (8)$$

$$F_1 = \frac{F_{O11} + F_{O12} + (R_{11} + R_{12} - G_1) \cdot f_{np} + F_{i1}}{\cos b_1 - \sin b_1 \cdot f_{np}}; \quad F_2 = \frac{F_{O21} + F_{O22} + (R_{21} + R_{22} - G_2) \cdot f_{np} + F_{i2}}{\cos b_2 - \sin b_2 \cdot f_{np}};$$

$$F_3 = \frac{F_{O31} + F_{O32} + (R_{31} + R_{32} - G_3) \cdot f_{np} + F_{i3}}{\cos b_3 - \sin b_3 \cdot f_{np}}; \quad F_4 = \frac{F_{O41} + F_{O42} + (R_{41} + R_{42} - G_4) \cdot f_{np} + F_{i4}}{\cos b_4 - \sin b_4 \cdot f_{np}}. \quad (9)$$

Користуючись геометричними характеристиками привідного механізму отримано вирази для визначення кутових координат положення шатунів щодо горизонталі:

$$b_1 = \arcsin\left(\frac{r}{l} \cdot \sin j\right); \quad b_2 = \arcsin\left(\frac{r}{l} \cdot \sin(j + \Delta j)\right);$$

$$b_3 = \arcsin\left(\frac{r}{l} \cdot \sin(j + 2 \cdot \Delta j)\right); \quad b_4 = \arcsin\left(\frac{r}{l} \cdot \sin(j + 3 \cdot \Delta j)\right),$$
(10)

де  $r$  – радіус кривошипів;  $j$  – кутова координата кривошипа першого формувального візка;  $\Delta j$  – кут зміщення кривошипів.

Сили інерції формувальних візків визначені за виразами [11]:

$$F_{i1} = -m_1 \cdot \ddot{x}_1; \quad F_{i2} = -m_2 \cdot \ddot{x}_2; \quad F_{i3} = -m_3 \cdot \ddot{x}_3; \quad F_{i4} = -m_4 \cdot \ddot{x}_4,$$
(11)

де  $m_1, m_2, m_3$  та  $m_4$  – маси першого, другого, третього та четвертого формувальних візків відповідно (маси формувальних візків рівні  $m_1 = m_2 = m_3 = m_4 = m$ );  $\ddot{x}_1, \ddot{x}_2, \ddot{x}_3$  та  $\ddot{x}_4$  – функції зміни лінійного прискорення формувальних візків.

Функції зміни лінійного прискорення першого, другого, третього та четвертого формувальних візків роликової формувальної установки з врівноваженим приводом розраховані за методикою, наведеною у [10, 11].

Для роликової формувальної установки з параметрами: радіус кривошипа –  $r = 0,2$  м; довжина шатуна –  $l = 0,8$  м; кутова швидкість обертання кривошипів –  $w = \omega = 10,5$  рад/с; сила опору –  $F_0 = 3562$  Н, яка необхідна на переміщення формувального візка з двома укочувальними роликами радіусом  $R = 0,11$  м для формування виробів заввишки –  $h_0 = 0,22$  м; завширшки –  $B = 1,164$  м; тип суміші, що ущільнюється – дрібнозерниста суміш; вологість бетонної суміші –  $W = 10$  %; потрібна щільність виробу –  $k_{yuc} = 0,98$  та усі інші геометричні та експлуатаційні показники:  $F_{O11} = F_{O12} = F_{O21} = F_{O22} = F_{O31} = F_{O32} = F_{O41} = F_{O42} = 7962$  Н;  $R_{11} = R_{12} = R_{21} = R_{22} = R_{31} = R_{32} = R_{41} = R_{42} = 9740$  Н;  $G_1 = G_2 = G_3 = G_4 = 10000$  Н;  $m_1 = m_2 = m_3 = m_4 = m = 1000$  кг;  $f_{mp} = 0,008$ ;  $D = 0,22$  м;  $D_1 = 0,046$  м;  $a = 0,27$  м;  $b = 0,27$  м;  $c = 0,37$  м;  $d = 0,37$  м;  $e = 0,1$  м та  $z = 0,65$  м [3].

Підставивши усі отримані дані в рівняння (5)–(9), побудовано графіки зміни зусиль у шатунах  $F_1, F_2, F_3$  та  $F_4$  (рис. 3) та нормальних реакцій  $N_{11}, N_{12}, N_{21}, N_{22}, N_{31}, N_{32}, N_{41}$  та  $N_{42}$  (рис. 4) напрямних руху формувальних візків на напрямні ролики залежно від кута повороту кривошипа.



Рис. 3. Графіки зміни зусиль у шатунах:  
 $F_1$  – 1,  $F_2$  – 2,  $F_3$  – 3 та  $F_4$  – 4  
 залежно від кута повороту кривошипа

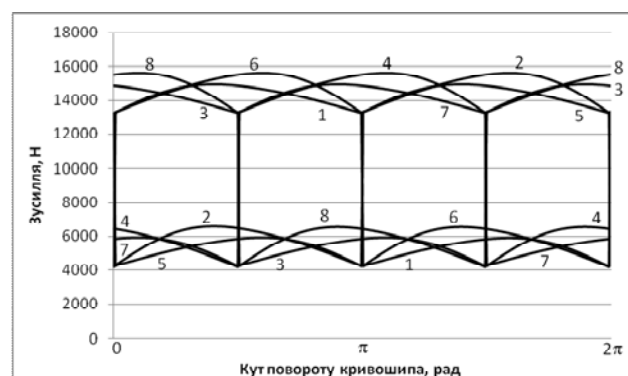


Рис. 4. Графіки зміни зусиль:  $N_{11}$  – 1,  
 $N_{12}$  – 2,  $N_{21}$  – 3,  $N_{22}$  – 4,  $N_{31}$  – 5,  $N_{32}$  – 6,  
 $N_{41}$  – 7 та  $N_{42}$  – 8 залежно  
 від кута повороту кривошипа

Аналізуючи графіки на рис. 3 та 4, можна побачити, що шатуни під час першої частини циклу працюють на розтягування, а під час другої частини – на стиснення; напрямні ролики сприймають навантаження від напрямних руху формувальних візків, але під час першої частини циклу навантаження на перший напрямний ролик значно більше, ніж на другий, а під час другої частини циклу, – навпаки. Ця нерівномірність спричинена значною величиною зусилля взаємодії робочого органа з бетонною сумішшю.

Використавши функції зміни зусиль у шатунах, отримано залежності для визначення необхідного крутного моменту на привідному валу для кожного з візків:

$$M_{кр1} = F_1 \cdot r \cdot \cos\left(\frac{p}{2} - (j + b_1)\right); \quad M_{кр2} = F_2 \cdot r \cdot \cos\left(\frac{p}{2} - (j + \Delta j + b_2)\right);$$

$$M_{кр3} = F_3 \cdot r \cdot \cos\left(\frac{p}{2} - (j + 2 \cdot \Delta j + b_3)\right); \quad M_{кр4} = F_4 \cdot r \cdot \cos\left(\frac{p}{2} - (j + 3 \cdot \Delta j + b_4)\right).$$
(12)

Значення крутного моменту на привідному валу дало змогу визначити функцію зміни потужності, необхідної для здійснення процесу формування для кожного з візків:

$$P_1 = M_{кр1} \cdot \omega; \quad P_2 = M_{кр2} \cdot \omega; \quad P_3 = M_{кр3} \cdot \omega; \quad P_4 = M_{кр4} \cdot \omega$$
(13)

та її сумарного значення:

$$P_{сум} = P_1 + P_2 + P_3 + P_4.$$
(14)

Для цієї установки з раніше наведеними параметрами побудовані графіки зміни потужностей, необхідних для забезпечення процесу формування для першого візка – 1, другого – 2, третього – 3, четвертого візка – 4 та її сумарного значення – 5 залежно від кута повороту кривошипа (рис. 5).

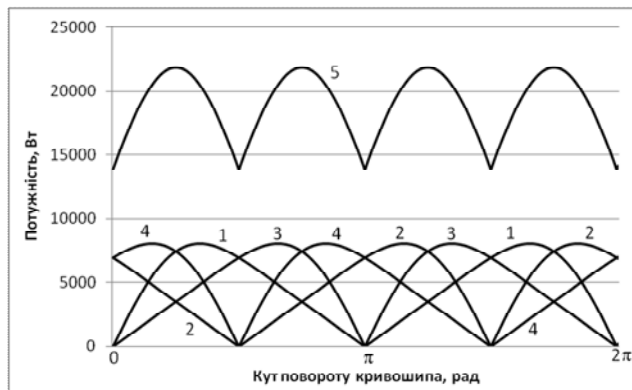


Рис. 5. Графіки зміни потужностей, необхідних для забезпечення процесу формування для першого – 1, другого – 2, третього – 3, четвертого візків – 4 та сумарної потужності – 5 залежно від кута повороту кривошипа

Аналіз цих графіків показує, що максимальне значення потужності, необхідної для забезпечення процесу формування кожним формувальним візком становить  $P_{1,2,3,4 \max} = 8045,6 \text{ Вт}$ . При цьому середнє значення цієї потужності протягом циклу роботи установки для кожного візка має значення  $P_{1,2,3,4 \text{ сеп}} = 4738,8 \text{ Вт}$ . Максимальне значення сумарної потужності установки, необхідної для забезпечення процесу формування, становить  $P_{сум \max} = 21872,2 \text{ Вт}$ , а середнє значення цієї потужності протягом циклу роботи установки має значення  $P_{сум \text{ сеп}} = 18993,8 \text{ Вт}$ . З наведеного вище можна зробити висновок, що під час застосування врівноваженого приводу на чотири формувальні візки середнє значення сумарної потужності на кожний формувальний візок становить  $4748,45 \text{ Вт}$ , що майже дорівнює значенню  $P_{1,2,3,4 \text{ сеп}}$ , а максимальне значення сумарної потужності на кожний формувальний візок становить  $5468,05 \text{ Вт}$ , що в 1,471 раза менше порівнянно з  $P_{1,2,3,4 \max}$ .

**Висновки:**

1. В результаті проведених досліджень визначено навантаження в елементах роликів формувальної установки з врівноваженим приводом на чотири формувальні візки і встановлено характер їх зміни протягом циклу руху.
2. Визначено значення потужності, необхідної для забезпечення процесу формування кожним формувальним візком та їх сумарне значення.
3. Результати роботи можуть у подальшому бути корисними для уточнення та удосконалення існуючих інженерних методів силового розрахунку машин роликів формувальної установки як на стадіях проектування/конструювання, так і в режимах реальної експлуатації.

1. Гарнець В. М. Прогресивні бетоноформуючі агрегати і комплекси / В. М. Гарнець. - К.: Будівельник, 1991. - 144 с. 2. Кузин В. Н. Технология роликів формувальної установки з врівноваженим приводом на чотири формувальні візки і встановлено характер їх зміни протягом циклу руху. // Дис. канд. наук / В. Н. Кузин. - М., 1981. - 20 с. 3. Рюшин В. Т. Исследование рабочего процесса и разработка методики расчета машин роликів формувальної установки з врівноваженим приводом на чотири формувальні візки і встановлено характер їх зміни протягом циклу руху. // Дис. канд. техн. наук / В. Т. Рюшин. - К., 1986. - 212 с. 4. Ловейкін В. С. Динамічний аналіз роликів формувальної установки з рекупераційним приводом / В. С. Ловейкін, К. І. Почка // Динаміка, міцність і надійність сільськогосподарських машин: праці 1-ї Міжнар. наук.-техн. конф. (DSR AM - I), 4-7 жовтня 2004 р., Тернопіль (Україна) - С. 507-514. 5. Ловейкін В. С. Результати експериментальних досліджень режимів руху роликів формувальної установки з рекупераційним приводом / В. С. Ловейкін, К. І. Почка // Вісник Харківського національного університету сільського господарства ім. П. Василенка. - Харків, 2007. - № 59, Т. 1. - С. 465-474. 6. Ловейкін В. С. Визначення оптимального значення кута зміщення кривошипів роликів формувальної установки з рекупераційним приводом / В. С. Ловейкін, К. І. Почка // Автоматизація виробничих процесів у машинобудуванні та приладобудуванні. - Львів: Нац. ун-ту "Львівська політехніка", 2007. - № 41. - С. 127-134. 7. Патент 32838 U Україна, МКВ B28B13/00 / Установка для формування виробів з бетонних сумішей / Ловейкін В. С., Ярошенко В. Ф., Почка К. І. - № и 20041108955 заявл. 02.11.2004; опубл. 10.06.2008, Бюл. № 11. 8. Патент 7884 U Україна, МКВ B28B13/02 / Установка для формування виробів з бетонних сумішей / Ловейкін В. С., Ярошенко В. Ф., Почка К. І., Бичевський В. М. - № и 20041209993 заявл. 06.12.2004; опубл. 15.07.2005, Бюл. № 7. 9. Ловейкін В. С. Визначення навантажень в елементах роликів формувальних установок / В. С. Ловейкін, К. І. Почка // Зб. наук. пр. - Харків: УкрДАЗТ, 2008. - Вип. 88 - С. 15-20. 10. Ловейкін В. С. Аналіз руху роликів формувальної установки з врівноваженим приводом / В. С. Ловейкін, К. І. Почка // Вісник Харківського національного автомобільно-дорожнього університету. - 2004. - № 27. - С. 95-101. 11. Ловейкін В. С. Силовий аналіз роликів формувальної установки з врівноваженим приводом / В. С. Ловейкін, К. І. Почка // Науковий вісник Національного аграрного університету. - 2005. - Вип. 80. - С. 346-356.